

# MECÂNICA DE VOO ESPACIAL - DEM 1119

## Aula 4

Prof. André Luís da Silva

### 1 Introdução

Tópicos da aula:

- Equação de Órbita: Geometria das trajetórias do problema de 2 corpos;
- Órbitas elíptica, parabólica e hiperbólica;
- Decomposição da velocidade nas direções horizontal e radial.

Referência da aula: [1]: TEWARI, A. Atmospheric and Space Flight Dynamics: Modelling and simulation with MATLAB and Simulink. Boston: Birkhauser, 2007.

A aula anterior desenvolveu as 6 integrais do movimento relativo no problema de 2 corpos. Foram discutidas propriedades gerais de tais soluções, mas a sua forma matemática não foi apresentada. Esta aula trata da determinação da geometria destas trajetórias.

### 2 Equação de Órbita: Geometria das Soluções do Problema de Dois Corpos

Na aula anterior, definiu-se o vetor  $\mu \mathbf{e}$ , o qual é uma integral do movimento. Esse vetor é constante no espaço inercial e está contido no plano da órbita.

Para determinar a geometria das soluções, o primeiro passo é calcular o produto escalar entre o vetor  $\mu \mathbf{e}$  e a posição  $\mathbf{r}$ . Isso vai fornecer a projeção do vetor posição sobre a direção inercial definida por  $\mathbf{e}$ :

$$\mu \mathbf{e} \cdot \mathbf{r} = \left( \mathbf{v} \times \mathbf{h} - \mu \frac{\mathbf{r}}{r} \right) \cdot \mathbf{r} = \mathbf{v} \times \mathbf{h} \cdot \mathbf{r} - \mu \frac{\mathbf{r}}{r} \cdot \mathbf{r} = \mathbf{v} \times \mathbf{h} \cdot \mathbf{r} - \mu \frac{r^2}{r} \quad (1)$$

Pela propriedade de comutatividade do produto misto:  $\mathbf{v} \times \mathbf{h} \cdot \mathbf{r} = \mathbf{r} \times \mathbf{v} \cdot \mathbf{h} = \mathbf{h} \cdot \mathbf{h} = h^2$ , então:

$$\mu \mathbf{e} \cdot \mathbf{r} = h^2 - \mu r \quad (2)$$

Ou:

$$\mathbf{e} \cdot \mathbf{r} + r = \frac{h^2}{\mu} \quad (3)$$

O lado direito da equação 3 é a constante “*parâmetro*” definida na aula anterior:  $p = h^2/\mu$ , assim:

$$\mathbf{e} \cdot \mathbf{r} + r = p \quad (4)$$

Como mencionado acima, o vetor  $\mathbf{e}$  define uma direção de referência no plano orbital. Isto é ilustrado na figura 1, a qual também mostra os vetores velocidade e posição.

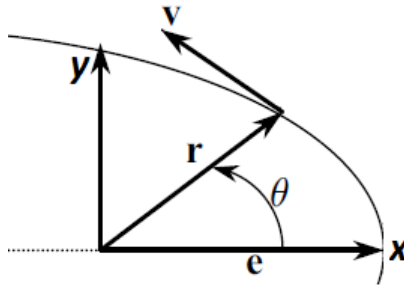


Figura 1: Sistema de referência no plano da órbita. Adaptado de [1].

Como a trajetória é plana, ela pode ser representada em um sistema de coordenadas polares, definido da seguinte maneira, segundo a representação da figura 1:

- A origem é a partícula de massa  $m_1$ , a partir da qual a posição da partícula  $m_2$  é medida;
- O eixo das abcissas está alinhado com o vetor  $\mathbf{e}$ ;
- O ângulo polar  $\theta$  é aquele formado entre os vetores posição  $\mathbf{r}$  e excentricidade  $\mathbf{e}$ ;
- A distância radial  $r$  é a magnitude do vetor posição.

Pela definição das coordenadas polares, a equação 4 é escrita como:

$$\mathbf{e} \cdot \mathbf{r} + r = |\mathbf{e}||\mathbf{r}| \cos \theta + r = er \cos \theta + r = r(e \cos \theta + 1) = p$$

$$r = \frac{p}{1 + e \cos \theta} \quad (5)$$

A equação 5 define a **geometria das trajetórias em coordenadas polares**, onde  $e$  e  $p$  são constantes associadas. Como visto na aula passada, o parâmetro  $p$  tem dimensão de comprimento e é sempre positivo. A excentricidade  $e$  é adimensional.

Como avaliado na aula anterior, a excentricidade tem relação com as trajetórias serem limitadas ( $0 \leq e < 1$ ) ou de escape ( $e \geq 1$ ). Assim, espera-se que a equação 5 expresse órbitas fechadas no primeiro caso e trajetórias “abertas” no segundo.

Devido ao seu significado e consequências, a equação 5 é muito importante, sendo chamada de **equação de órbita**. Qualquer trajetória do problema de dois corpos deve satisfazê-la. As variáveis que caracterizam a trajetória são a distância  $r$  entre os primários e o ângulo  $\theta$ , o qual é definido como a **anomalia verdadeira**.

Para entender melhor a equação 5 e as trajetórias que ela especifica, pode-se fazer um programa que calcule  $r$  em função de  $\theta$ , para  $0 \leq \theta \leq \pi$ . Para isso, é adotado um valor pré definido de  $p$  (que só afeta o “tamanho” da trajetória e não o seu formato) e alguns valores representativos da excentricidade  $e$ . Os pontos gerados são expressos em gráficos de coordenadas polares.

O procedimento acima foi feito utilizando o MATLAB, para  $p = 1$  e:  $e = 0$ ,  $e = 0,5$ ,  $e = 1$ ,  $e = 1,2$ . Isto resultou nos gráficos da figura 2.

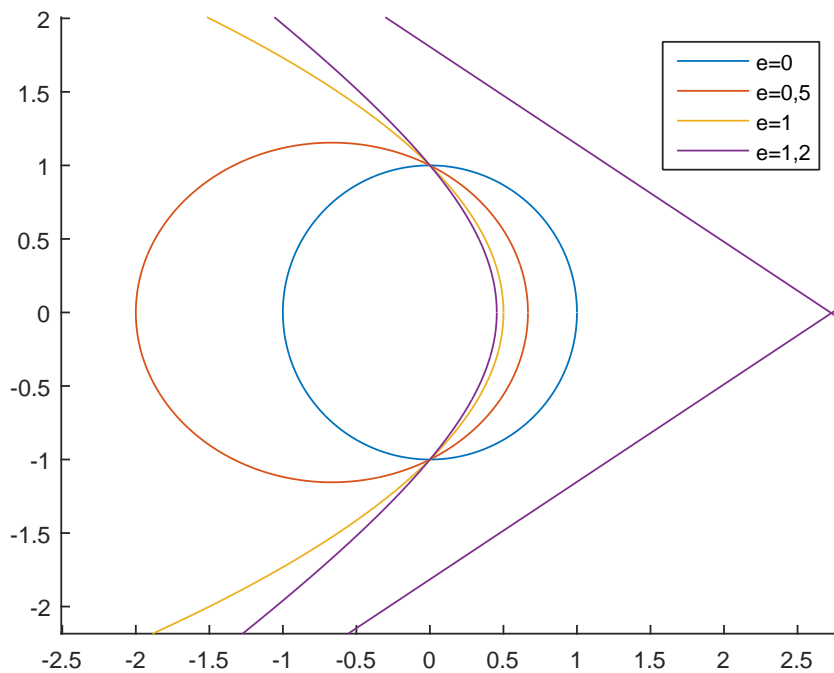


Figura 2: Quatro soluções da equação de órbita para  $p = 1$  e  $e = 0, 0,5, 1$  e  $1,2$ .

A inspeção visual e a mensuração dos parâmetros das curvas da figura 2 mostra que elas são figuras geométricas dos seguintes tipos:  $e = 0$ : **circunferência**;  $e = 0,5$ : **elipse**;  $e = 1$ : **parábola**;  $e = 1,2$ : **hipérbole**.

Os resultados da figura 2 não ocorreram à toa, pois a equação 5 é a forma polar da equação paramétrica das seções cônicas. Assim, verifica-se, que **as órbitas resultantes do problema de dois corpos são cônicas**:

- circunferência:  $e = 0$ ;
- elipse:  $0 < e < 1$ ;
- parábola:  $e = 1$ ;

- hipérbole:  $e > 1$ .

A seguir, as geometrias de órbita apresentadas acima são aprofundadas. As figuras 3, 4 e 5 parametrizam as órbitas do tipo elíptica, parabólica e hiperbólica, respectivamente.

### 3 Órbita Elíptica

A figura 3 mostra uma órbita elíptica genérica. O eixo  $x$  do sistema de referência é alinhado com o vetor excentricidade  $\mathbf{e}$ . A origem é coincidente com um dos focos, que coincide com o corpo de massa  $m_1$ .

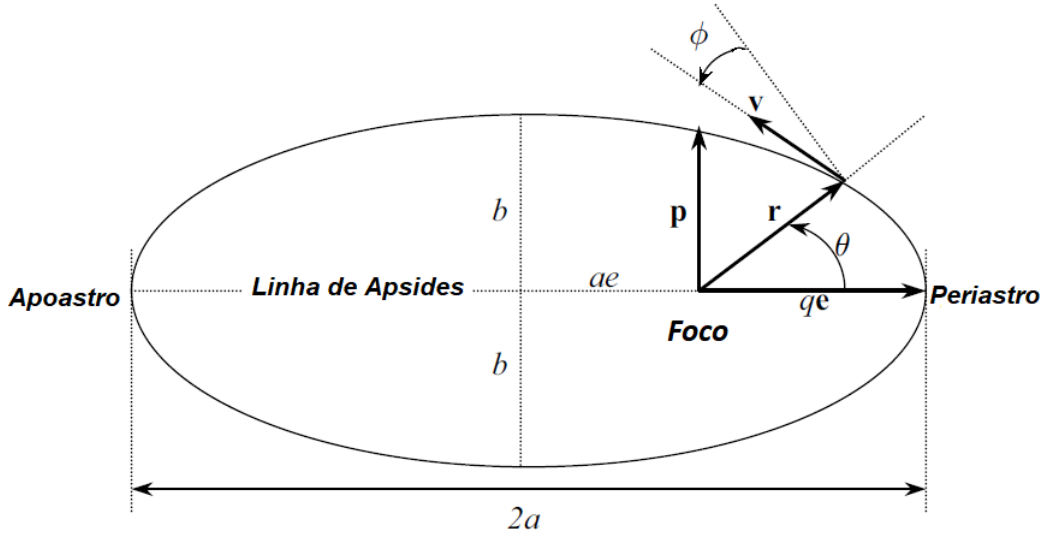


Figura 3: Geometria de órbita elíptica. Adaptado de [1].

Na órbita elíptica, a menor distância ao foco é chamada de **periastro**<sup>1</sup>, sendo medido ao longo do eixo  $x$ . A maior distância até o foco é chamada de **apoastro**<sup>2</sup>, também medida ao longo do eixo  $x$ . A linha que une estes dois extremos é chamada de **linha de apsides**.

As distâncias de periastro  $r_p$  e apoastro  $r_a$  são calculadas pela equação de órbita quando  $\theta = 0$  e  $\theta = \pi$ , respectivamente, sendo válidas somente quando  $e < 1$ .

$$r_p = \frac{p}{1 + e} \quad (6)$$

$$r_a = \frac{p}{1 - e} \quad (7)$$

Conforme visto na aula anterior, o *parâmetro*  $p$  e a constante  $a$  estão relacionados por  $p = (1 - e^2)a$ . Assim, o periastro e o apoastro também podem ser escritos como:

$$r_p = \frac{(1 - e^2)a}{1 + e} = \frac{(1 - e)(1 + e)}{1 + e}a$$

<sup>1</sup>Perigeu para o caso de órbitas ao redor da Terra.

<sup>2</sup>Apogeu para o caso de órbitas ao redor da Terra.

$$r_p = (1 - e)a \quad (8)$$

$$r_a = \frac{(1 - e^2)a}{1 - e} = \frac{(1 - e)(1 + e)}{1 - e}a$$

$$r_a = (1 + e)a \quad (9)$$

As equações 8 e 9 são válidas para  $a > 0$ , pois essa condição é necessária para obter-se uma órbita elíptica.

Somando-se as equações 8 e 9, verifica-se que a constante  $a$  é o ***semieixo maior da elipse***, o qual, por definição, é a metade da distância entre os apsides:

$$r_p + r_a = 2a \quad \text{ou} \quad a = \frac{r_p + r_a}{2} \quad (10)$$

Outra propriedade geométrica importante de uma órbita elíptica é obtida fazendo-se  $\theta = \pi/2$  na equação de órbita. O resultado obtido é  $r = p$ . Então, como a figura 3 ilustra, o ***parâmetro***  $p$  é a *distância normal da linha dos apsides até a trajetória medida a partir do foco*.

A interpretação geométrica do *parâmetro* pode ser descrita pela definição de um  $\mathbf{p}$ , que tem direção normal ao vetor  $\mathbf{e}$ , sentido positivo “para cima” (eixo  $y$  positivo) e módulo igual a  $p$ , como ilustrado na figura 3). Definindo  $\mathbf{i}_p$  como um vetor unitário com essas características, tem-se:

$$\mathbf{p} = p\mathbf{i}_p \quad (11)$$

O vetor unitário  $\mathbf{i}_p$  é normal a  $\mathbf{e}$  e  $\mathbf{h}$ , podendo ser calculado pelo produto vetorial:

$$\mathbf{i}_p = \frac{\mathbf{h} \times \mathbf{e}}{\|\mathbf{h} \times \mathbf{e}\|} = \frac{\mathbf{h} \times \mathbf{e}}{\|\mathbf{h}\| \cdot \|\mathbf{e}\|}$$

$$\mathbf{i}_p = \frac{\mathbf{h} \times \mathbf{e}}{he} \quad (12)$$

Assim, a tríade  $\mathbf{e}$ ,  $\mathbf{p}$  e  $\mathbf{h}$  é mutuamente ortogonal e gera um sistema de eixos inerciais. Ele é chamado ***referencial perifocal*** e possui as seguintes características:

- A origem coincide com o corpo  $m_1$ ;
- Os vetores  $\mathbf{e}$  e  $\mathbf{p}$  estão contidos no plano da órbita;
- O vetor  $\mathbf{h}$  é normal ao plano orbital.

Da mesma forma que  $\mathbf{p}$  é um vetor que aponta desde o foco até a órbita, em sentido normal à linha de apsides, é importante definir um vetor que aponta desde o foco até a órbita ao longo

da linha de apsides, ou seja, um vetor desde o foco até o periastro. Como mostra a figura 3, ele é dado por  $qe$ , de tal forma que  $qe = r_p$ . Assim, da equação 8, tem-se que:

$$qe = (1 - e)a$$

$$q = \left(\frac{1}{e} - 1\right) a \quad (13)$$

## 4 Órbita Parabólica

A figura 4 ilustra uma órbita parabólica ( $e = 1$ ), cujas propriedades geométricas são detalhadas na sequência.

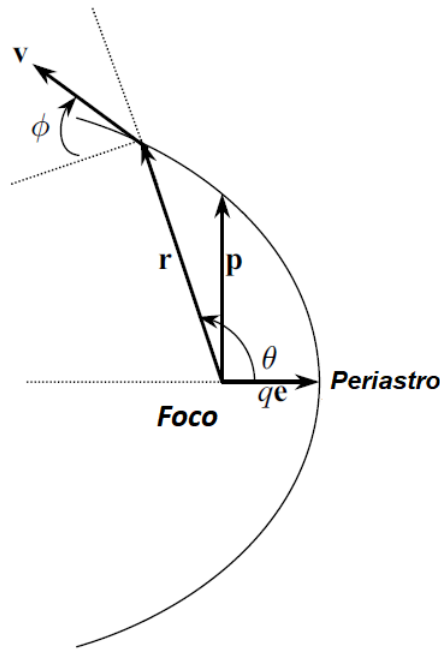


Figura 4: Geometria de trajetória Parabólica. Adaptado de [1].

O periastro da órbita parabólica é definido da mesma forma que no caso elíptico, ocorrendo para  $\theta = 0$ . Assim, da equação de órbita com  $e = 1$ :

$$r_p = \frac{p}{1 + 1 \cos 0} = \frac{p}{1 + 1}$$

$$r_p = \frac{p}{2} \quad (14)$$

Como a órbita parabólica é de escape, o apoastro é indefinido.

A constante  $q$  associada ao apoastro da órbita parabólica é bastante simples:  $qe = r_p \rightarrow q = \frac{p}{2}$ . A síntese dessa geometria simples é evidente na figura 4.

## 5 Órbita Hiperbólica

A figura 5 ilustra uma trajetória hiperbólica ( $e > 1$ ), apontando seus parâmetros geométricos.

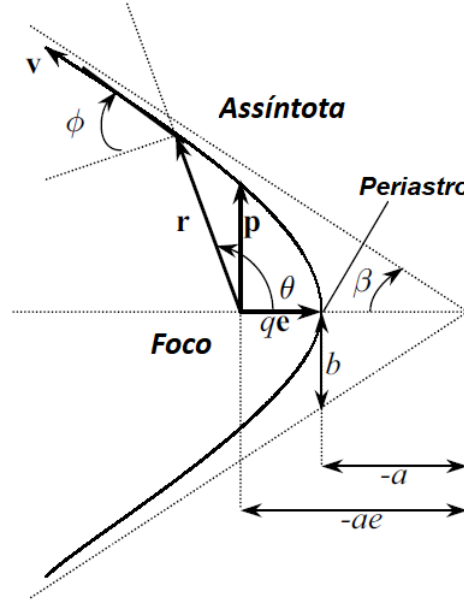


Figura 5: Geometria de trajetória hiperbólica. Adaptado de [1].

O periastro da órbita hiperbólica é definido da mesma forma que nos casos anteriores, ocorrendo para  $\theta = 0$ :

$$r_p = \frac{p}{1 + e \cos 0} = \frac{(1 - e^2)a}{1 + e} = \frac{(1 - e)(1 + e)a}{1 + e} = (1 - e)a$$

$$r_p = -a(e - 1) \quad (15)$$

Na equação 15, o sinal negativo foi enfatizado porque o semieixo maior é negativo na órbita hiperbólica.

Como a órbita hiperbólica é de escape, o apoastro é indefinido.

A constante  $q$  é dada da mesma forma que no caso elíptico, 13, mas com  $e > 1$  e  $a < 0$ , por isso o sinal negativo é enfatizado abaixo.

$$q = -a \left( 1 - \frac{1}{e} \right) \quad (16)$$

## 6 Decomposição do Vetor Velocidade

Outra característica geométrica importante do problema de dois corpos é a decomposição do vetor velocidade. Como ilustrado na figura 6, a velocidade é escrita em um sistema de referência girante que se move junto com a órbita. A origem deste sistema móvel é a posição atual do corpo  $m_2$ , as direções são dadas pelos vetores unitários  $\mathbf{i}_r$  e  $\mathbf{i}_\theta$  contidos no plano da órbita.

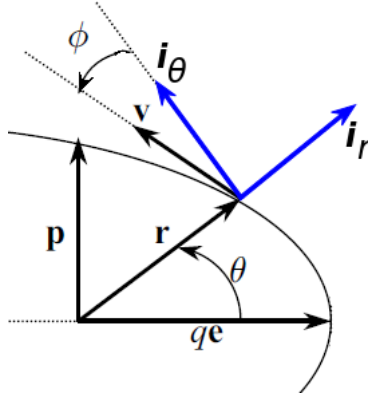


Figura 6: Referencial horizontal local e radial.

O vetor unitário  $\mathbf{i}_r$  é a direção radial. O vetor unitário  $\mathbf{i}_\theta$  aponta na direção progressiva da órbita, sendo normal a  $\mathbf{i}_r$ .

O sistema de referência definido na figura 6 está tracejado nas figuras 3, 4 e 5, evidenciando como tais definições se manifestam em cada tipo de órbita.

O eixo  $\mathbf{i}_\theta$  representa o **horizonte local**, pois este, por definição, é perpendicular ao vetor radial que aponta a partir do corpo  $m_1$ . Em função disso, o ângulo  $\phi$  entre o vetor velocidade e o horizonte local é chamado de **ângulo de trajetória**, como indicado na figura 6.

O ângulo de trajetória  $\phi$  é positivo quando o vetor velocidade encontra-se “acima” do horizonte local, como ilustrado nas figuras 4 e 5.

Segundo a figura 6, a decomposição da velocidade sobre os eixos horizontal local e radial é:

$$\mathbf{v} = v \cos \phi \mathbf{i}_\theta + v \sin \phi \mathbf{i}_r \quad (17)$$

Para encontrar uma expressão para o ângulo  $\phi$ , parte-se da definição de  $\mathbf{h}$ :

$$\mathbf{h} = \mathbf{r} \times \mathbf{v} = r \mathbf{i}_r \times (v \cos \phi \mathbf{i}_\theta + v \sin \phi \mathbf{i}_r)$$

$$\mathbf{h} = rv \cos \phi \mathbf{i}_h \quad \text{ou} \quad h = rv \cos \phi \quad (18)$$

Substituindo-se  $r$  dado pela equação de órbita na expressão de  $h$  dada em 18:

$$h = \frac{pv \cos(\phi)}{1 + e \cos \theta}$$

$$\cos(\phi) = \frac{h(1 + e \cos \theta)}{pv} \quad (19)$$

Substituindo a definição de  $p = h^2/\mu$ :

$$\cos(\phi) = \frac{\mu(1 + e \cos \theta)}{hv} \quad (20)$$



Além disso, por definição, a velocidade radial é dada por:

$$v \sin \phi = \dot{r} \quad (21)$$

Derivando  $r$  pela equação de órbita e substituindo na equação 21:

$$\begin{aligned} \frac{dr}{dt} &= \frac{d}{dt} \frac{p}{1 + e \cos \theta} = p \frac{d}{dt} \frac{1}{1 + e \cos \theta} = p \frac{-(-\dot{\theta} e \sin \theta)}{(1 + e \cos \theta)^2} \\ v \sin \phi &= \frac{pe \sin \theta}{(1 + e \cos \theta)^2} \dot{\theta} \end{aligned} \quad (22)$$

Da aula anterior,  $\dot{\theta}$  está relacionado com o módulo de  $\mathbf{h}$ :  $h = r^2 \dot{\theta}$ , ou seja:  $\dot{\theta} = h/r^2$ . Usando este resultado e substituindo  $r$  pela equação de órbita:

$$v \sin \phi = \frac{pe \sin \theta}{(1 + e \cos \theta)^2} \frac{h}{r^2} = \frac{pe \sin \theta}{(1 + e \cos \theta)^2} h \frac{(1 + e \cos \theta)^2}{p^2} = \frac{he \sin \theta}{p} \quad (23)$$

Substituindo  $p = h^2/\mu$ :

$$\begin{aligned} v \sin \phi &= he \sin \theta \frac{\mu}{h^2} = \frac{\mu e \sin \theta}{h} \\ \sin \phi &= \frac{\mu e \sin \theta}{hv} \end{aligned} \quad (24)$$

As equações 20 e 24 fornecem o ângulo  $\phi$  sem ambiguidade, pela consulta dos sinais do seno e do cosseno. Mas pode-se obter o mesmo resultado de modo mais simples. Dividindo-se a equação 24 pela 20:

$$\begin{aligned} \tan \phi &= \frac{\sin \phi}{\cos \phi} = \frac{\mu e \sin \theta}{hv} \frac{hv}{\mu(1 + e \cos \theta)} \\ \tan \phi &= \frac{e \sin \theta}{1 + e \cos \theta} \end{aligned} \quad (25)$$

Não há ambiguidade no cálculo de  $\phi$  pela tangente, pois  $-\frac{\pi}{2} < \phi < \frac{\pi}{2}$ .

## Referências

- [1] A. TEWARI. *Atmospheric and Space Flight Dynamics: Modelling and simulation with MATLAB and Simulink*. Birkhauser, Boston, 2007.